

Министерство науки и высшего образования Российской Федерации
ФЕДЕРАЛЬНОЕ ГОСУДАРСТВЕННОЕ АВТОНОМНОЕ
ОБРАЗОВАТЕЛЬНОЕ УЧРЕЖДЕНИЕ ВЫСШЕГО ОБРАЗОВАНИЯ
НАЦИОНАЛЬНЫЙ ИССЛЕДОВАТЕЛЬСКИЙ УНИВЕРСИТЕТ
ИТМО

Лабораторная работа №2
по дисциплине
"Математический анализ и основы вычислений"

Семестр II

Выполнили:
студенты
Бровкин Аким Алексеевич
гр. J3110
ИСУ 465282
Воробьев Андрей Павлович
гр. J3110
ИСУ 465440
Шакина Анна Сергеевна
гр. J3110
ИСУ 396675
Отчёт сдан:
2.06.2025

Санкт-Петербург
2025

1 Введение

Целью данной лабораторной работы является изучение и реализация методов обработки изображений, таких как работа с каналами изображения, свертка, фильтрация и преобразование Фурье. Задачи работы включают:

- Загрузку и отображение изображения;
- Разделение изображения на каналы и их визуализацию;
- Применение свертки с различными ядрами;
- Использование пороговой и медианной фильтрации;
- Применение гауссовского и боксового размытия;
- Выделение краев с помощью фильтра Собеля;
- Изменение размера изображения с помощью DCT;
- Применение быстрого преобразования Фурье (FFT) для анализа и фильтрации изображения.

2 Теоретическая часть

Обработка изображений включает в себя различные методы для улучшения, анализа и преобразования изображений. В данной работе рассматриваются следующие ключевые концепции:

2.1 Каналы изображения

Изображения часто представлены в виде многоканальных данных. Например, RGB-изображения состоят из красного, зеленого и синего каналов. Анализ отдельных каналов позволяет изучить вклад каждого цвета в общее изображение.

2.2 Свёртка

Свёртка — это операция, применяемая к изображению с использованием ядра (фильтра) для выполнения задач, таких как размытие или выделение краев. Свёртка вычисляется путем скольжения ядра по изображению и вычисления взвешенной суммы пикселей.

2.3 Фильтрация

Фильтрация используется для удаления шума, сглаживания или выделения особенностей изображения. В работе применяются пороговая фильтрация, медианная фильтрация, гауссовское размытие и боксовое размытие.

2.4 Ряды Фурье и аппроксимация изображений

Ряды Фурье можно использовать для аппроксимации и обработки изображений, например, для увеличения их разрешения с сохранением гладкости линий. Для этого изображение представляется как сеточная функция $f(x, y)$, где каждая точка имеет яркость (например, от 0 до 255). Эта функция аппроксимируется частичными суммами двойного ряда Фурье по косинусам:

$$S_{mn}(x, y) = \sum_{j=-m}^{j=m} \sum_{k=-n}^{k=n} a_{jk} \cos \frac{\pi j x}{l_1} \cos \frac{\pi k y}{l_2}, \quad (1.1)$$

где l_1 и l_2 — ширина и высота рисунка, а коэффициенты a_{jk} находятся по формуле:

$$a_{jk} = \frac{1}{l_1 l_2} \int_0^{l_1} \int_0^{l_2} f(x, y) \cos \frac{\pi j x}{l_1} \cos \frac{\pi k y}{l_2} dy dx. \quad (1.2)$$

Числа m и n определяют пределы суммирования и, соответственно, количество слагаемых в сумме, влияя на качество аппроксимации. Однако, при слишком большом числе слагаемых качество может ухудшаться из-за накопления погрешностей округления.

2.5 Эффект Гиббса

При аппроксимации функций с разрывами (например, резкие переходы цвета в изображениях) с помощью конечного числа членов ряда Фурье возникает так называемый **эффект Гиббса**. Он проявляется в виде характерных всплесков или осцилляций в окрестности точек разрыва. Этот эффект вызван тем, что при вычислении частичной суммы ряда Фурье пренебрегаются слагаемые с более высокой частотой. В изображениях это может выглядеть как периодический «шум» или артефакты, особенно заметные в областях с высокой контрастностью или на границах объектов. Наличие резких границ в исходном изображении, таких как черная рамка, может усиливать этот эффект.

2.6 Дискретное косинусное преобразование (DCT) и JPEG

Методы, родственные разложению в ряд Фурье, такие как **дискретное косинусное преобразование (DCT)**, активно используются в стандартах сжатия изображений, например, JPEG. В JPEG DCT обычно применяется к блокам пикселей (например, 8×8). При таком подходе эффект Гиббса также может проявляться в виде волнообразных искажений вблизи резких цветовых переходов, особенно при высокой степени сжатия. Кодирование поблочно помогает локализовать эти искажения внутри блоков. Знание коэффициентов DCT позволяет восстанавливать изображение, в том числе с изменением разрешения.

2.7 Быстрое преобразование Фурье (FFT)

Быстрое преобразование Фурье (FFT) — это численный алгоритм, который позволяет значительно сократить количество вычислительных операций при расчете преобразования Фурье или коэффициентов ряда Фурье. Вместо порядка N^2 операций, FFT требует порядка $N \log_2 N$ операций, где N — количество точек данных, что дает существенную экономию времени при больших объемах вычислений. Существуют различные варианты FFT, например, метод Кули-Тьюки.

3 Реализация методов

3.1 Загрузка и отображение изображения

Изображение загружается с помощью библиотеки OpenCV и преобразуется из формата BGR в RGB для корректного отображения с использованием Matplotlib:

```
1 image_path = 'tipovikmatan.jpg'
2 color_image = cv2.imread(image_path)
3 color_image = cv2.cvtColor(color_image, cv2.COLOR_BGR2RGB)
```

3.2 Разделение на каналы

Изображение разделяется на красный, зеленый и синий каналы:

```
1 r_channel = color_image[:, :, 0]
2 g_channel = color_image[:, :, 1]
3 b_channel = color_image[:, :, 2]
```

3.3 Свёртка

Реализована функция свёртки, принимающая изображение и ядро:

```
1 def convolve(image, kernel):
2     h, w = image.shape
3     kh, kw = kernel.shape
4     pad_h = kh // 2
5     pad_w = kw // 2
6     padded_image = np.pad(image, ((pad_h, pad_h), (pad_w, pad_w)), mode='
constant', constant_values=0)
7     output = np.zeros_like(image, dtype=float)
8     for i in range(h):
9         for j in range(w):
10             output[i, j] = np.sum(kernel * padded_image[i:i+kh, j:j+kw])
11     return output
```

3.4 Пороговая фильтрация

Реализована функция для бинаризации изображения:

```
1 def threshold_filter(image, threshold_value, high_val=255, low_val=0):
2     thresholded_image = np.zeros_like(image)
3     thresholded_image[image > threshold_value] = high_val
4     thresholded_image[image <= threshold_value] = low_val
5     return thresholded_image
```

3.5 Медианная фильтрация

Реализована функция медианной фильтрации:

```
1 def median_filter(image, kernel_size=3):
2     if kernel_size % 2 == 0:
3         raise ValueError("Размер ядра должен быть нечетным числом")
4     img_height, img_width = image.shape
5     pad_size = kernel_size // 2
6     padded_image = np.pad(image, pad_size, mode='reflect')
```

```

7     output_image = np.zeros_like(image)
8     for y in range(img_height):
9         for x in range(img_width):
10             neighborhood = padded_image[y : y + kernel_size, x : x + kernel_
size]
11             output_image[y, x] = np.median(neighborhood)
12     return output_image.astype(image.dtype)

```

3.6 Гауссовское размытие

Реализована функция для создания гауссовского ядра:

```

1 def gaussian_kernel(size, sigma=1.0):
2     if size % 2 == 0:
3         raise ValueError("Размер ядра должен быть нечетным числом")
4     ax = np.arange(-size // 2 + 1.0, size // 2 + 1.0)
5     xx, yy = np.meshgrid(ax, ax)
6     kernel = np.exp(-(xx**2 + yy**2) / (2.0 * sigma**2))
7     kernel = kernel / np.sum(kernel)
8     return kernel

```

3.7 Боксовое размытие

Реализована функция для создания ядра боксового размытия:

```

1 def box_blur_kernel(size):
2     if size <= 0:
3         raise ValueError("Размер ядра должен быть положительным числом")
4     return np.ones((size, size), dtype=np.float32) / (size * size)

```

3.8 Фильтр Собеля

Реализована функция для применения фильтра Собеля:

```

1 def sobel_filter(image):
2     sobel_x_kernel = np.array([[ -1,  0,  1], [ -2,  0,  2], [ -1,  0,  1]], dtype=np.
float32)
3     sobel_y_kernel = np.array([[ -1, -2, -1], [ 0,  0,  0], [ 1,  2,  1]], dtype=np.
float32)
4     gradient_x = convolve(image.astype(np.float32), sobel_x_kernel)
5     gradient_y = convolve(image.astype(np.float32), sobel_y_kernel)
6     gradient_magnitude = np.abs(gradient_x) + np.abs(gradient_y)
7     if np.max(gradient_magnitude) > 0:
8         gradient_magnitude = (gradient_magnitude / np.max(gradient_magnitude) *
255).astype(np.uint8)
9     else:
10         gradient_magnitude = gradient_magnitude.astype(np.uint8)
11     return gradient_magnitude, gradient_x, gradient_y

```

3.9 Изменение размера с помощью DCT

Реализованы функции для изменения размера изображения с помощью DCT:

```

1 def resize_dct_raw(image, new_shape, keep_coeff=(None, None), smooth_t=0.0, a2
=1 / 500000.0):
2     # Приводим изображение к float

```

```

3  img = np.asarray(image, dtype=float)
4  N, M = img.shape # Исходные размеры
5  H, W = new_shape # Новые размеры
6
7  # Вспомогательная функция для коэффициента c(n)
8  def c(n):
9      return 1.0 / np.sqrt(2.0) if n == 0 else 1.0
10
11 # Прямое DCT
12 F_full = np.zeros((N, M), dtype=float)
13 norm = 2.0 / np.sqrt(N * M)
14 for k in range(N):
15     ck = c(k)
16     for l in range(M):
17         cl = c(l)
18         S_k_l = 0.0
19         for j in range(N):
20             T_j_l = 0.0
21             cos_j_factor = np.cos(np.pi * k * (j + 0.5) / N)
22             for m_val in range(M):
23                 cos_m_factor = np.cos(np.pi * l * (m_val + 0.5) / M)
24                 T_j_l += img[j, m_val] * cos_m_factor
25             S_k_l += cos_j_factor * T_j_l
26         F_full[k, l] = norm * ck * cl * S_k_l
27
28 # Усечение коэффициентов
29 m_coeffs, n_coeffs = N - 1, M - 1
30 if keep_coeff[0] is not None and keep_coeff[1] is not None:
31     m_coeffs, n_coeffs = keep_coeff
32     if not (0 <= m_coeffs < N and 0 <= n_coeffs < M):
33         raise ValueError("keep_coeff должно удовлетворять 0 <= m < N, 0 <=
n < M")
34
35 F_cut = np.zeros_like(F_full)
36 F_cut[:m_coeffs + 1, :n_coeffs + 1] = F_full[:m_coeffs + 1, :n_coeffs + 1]
37
38
39 # Сглаживание эффекта Гиббса
40 if smooth_t > 0.0:
41     for k in range(m_coeffs + 1):
42         for l in range(n_coeffs + 1):
43             lam = (np.pi * k / N) ** 2 + (np.pi * l / M) ** 2
44             F_cut[k, l] *= np.exp(-a2 * lam * smooth_t)
45
46 # Обратное DCT для интерполяции
47 resized = np.zeros((H, W), dtype=float)
48 inv_norm = 2.0 / np.sqrt(N * M) # N и M исходные измерения
49 for x in range(H):
50     for y in range(W):
51         sum_val = 0.0
52         for k in range(m_coeffs + 1):
53             ck = c(k)
54             cos_k_factor = np.cos(np.pi * k * (x + 0.5) / H) # Испол зует н
овое измерение H
55             for l in range(n_coeffs + 1):
56                 cl = c(l)
57                 cos_l_factor = np.cos(np.pi * l * (y + 0.5) / W) # Испол з
ует новое измерение W
58                 sum_val += ck * cl * F_cut[k, l] * cos_k_factor * cos_l_
factor

```

```

59         resized[x, y] = inv_norm * sum_val
60
61     return resized

```

```

1 def resize_dct_fast(image, new_shape, keep_coeff=(None, None), smooth_t=0.0, a2
  =1 / 500000.0):
2     img = np.asarray(image, dtype=float)
3     N_orig, M_orig = img.shape # Исходные измерения
4     H_new, W_new = new_shape   # Новые измерения
5
6     c_k_orig = np.ones(N_orig, dtype=float)
7     c_k_orig[0] = 1.0 / np.sqrt(2.0)
8     c_l_orig = np.ones(M_orig, dtype=float)
9     c_l_orig[0] = 1.0 / np.sqrt(2.0)
10
11     m_idx_orig = np.arange(M_orig)
12     l_idx_orig = np.arange(M_orig)
13     angles_M_orig = np.pi * np.outer(m_idx_orig + 0.5, l_idx_orig) / M_orig
14     cos_m_table_orig = np.cos(angles_M_orig)
15
16     j_idx_orig = np.arange(N_orig)
17     k_idx_orig = np.arange(N_orig)
18     angles_N_orig = np.pi * np.outer(j_idx_orig + 0.5, k_idx_orig) / N_orig
19     cos_j_table_orig = np.cos(angles_N_orig)
20
21     T = img.dot(cos_m_table_orig)
22     B = cos_j_table_orig.T.dot(T)
23     norm_factor = 2.0 / np.sqrt(N_orig * M_orig)
24     F_full = norm_factor * (c_k_orig[:, None] * B * c_l_orig[None, :])
25
26     m_coeffs, n_coeffs = N_orig - 1, M_orig - 1
27     if keep_coeff[0] is not None and keep_coeff[1] is not None:
28         m_coeffs, n_coeffs = keep_coeff
29         if not (0 <= m_coeffs < N_orig and 0 <= n_coeffs < M_orig):
30             raise ValueError("keep_coeff должен удовлетворят 0 <= m < N_orig,
31 0 <= n < M_orig")
32
33     F_cut = np.zeros_like(F_full)
34     F_cut[:m_coeffs + 1, :n_coeffs + 1] = F_full[:m_coeffs + 1, :n_coeffs + 1]
35
36     if smooth_t > 0.0:
37         for k_loop in range(m_coeffs + 1):
38             for l_loop in range(n_coeffs + 1):
39                 lam = (np.pi * k_loop / N_orig) ** 2 + (np.pi * l_loop / M_orig
40 ) ** 2
41                 F_cut[k_loop, l_loop] *= np.exp(-a2 * lam * smooth_t)
42
43     # Обратный DCT для новых измерений H_new , W_new
44     # Коэффициенту c_k и c_l для усеченных измерений, испол зумее при суммиров
45 ании
46     c_k_trunc = np.ones(m_coeffs + 1, dtype=float)
47     if m_coeffs >= 0: c_k_trunc[0] = 1.0 / np.sqrt(2.0)
48     c_l_trunc = np.ones(n_coeffs + 1, dtype=float)
49     if n_coeffs >= 0: c_l_trunc[0] = 1.0 / np.sqrt(2.0)
50
51     x_idx_new = np.arange(H_new)
52     k_idx_sum = np.arange(m_coeffs + 1) # Суммирование по k до m_coeffs
53     angles_H_new = np.pi * np.outer(x_idx_new + 0.5, k_idx_sum) / H_new
54     cos_k_table_new = np.cos(angles_H_new)
55     # Поэлементное умножение cos_k_table_new на c_k_trunc

```

```

53 # Размеры D_H: H_new x (m_coeffs + 1)
54 D_H = cos_k_table_new * c_k_trunc[None, :]
55
56
57 y_idx_new = np.arange(W_new)
58 l_idx_sum = np.arange(n_coeffs + 1) # Суммирование по l до n_coeffs
59 angles_W_new = np.pi * np.outer(y_idx_new + 0.5, l_idx_sum) / W_new
60 cos_l_table_new = np.cos(angles_W_new)
61 # Поэлементное умножение cos_l_table_new на c_l_trunc
62 # Размеры D_W: W_new x (n_coeffs + 1)
63 D_W = cos_l_table_new * c_l_trunc[None, :]
64
65
66 F_sub = F_cut[:m_coeffs + 1, :n_coeffs + 1] # Подматрица F_cut
67
68 # inv_norm_factor - то же самое, что и norm_factor, основаннй на исходных
69 N, M
70 inv_norm_factor = 2.0 / np.sqrt(N_orig * M_orig)
71 resized = inv_norm_factor * (D_H.dot(F_sub).dot(D_W.T))
72
73 return resized

```

3.10 Преобразование Фурье

Реализованы функции для FFT и фильтрации в частотной области:

```

1 def fft2d(img):
2     h = 2 ** np.ceil(np.log2(img.shape[0])).astype(int) # Дополняем до степени
3     w = 2 ** np.ceil(np.log2(img.shape[1])).astype(int) # двойки
4     padded_img = np.pad(img, ((0, h - img.shape[0]), (0, w - img.shape[1])),
5     mode='constant')
6     rows = np.array([fft1d(row) for row in padded_img], dtype=complex) # FFT п
7     cols = np.array([fft1d(col) for col in rows.T], dtype=complex).T # FFT по
8     return cols

```

```

1 def apply_frequency_filter(img, filter_type='low', radius=30):
2     img_arr = np.asarray(img, dtype=float)
3     F = fft2d(img_arr) # Прямое FFT
4     H, W = F.shape
5     F_shifted = fftshift2d(F) # Сдвигаем спектр
6
7     # Создаём маску в зависимости от типа фил тра
8     Y, X = np.ogrid[:H, :W]
9     center_y, center_x = H // 2, W // 2
10    distance = np.sqrt((Y - center_y) ** 2 + (X - center_x) ** 2)
11    mask = np.zeros((H,W), dtype=bool) # Инициализация маски
12    if filter_type == 'low':
13        mask[distance <= radius] = True # Низкие частоты
14    elif filter_type == 'high':
15        mask[distance >= radius] = True # Вуские частоты
16    else:
17        raise ValueError("filter_type должен бйт 'low' или 'high'")
18
19    F_filtered = F_shifted * mask # Применяем маску
20    F_unshifted = ifftshift2d(F_filtered) # Обратнй сдвиг
21    img_filtered = np.real(ifft2d(F_unshifted)) # Обратное FFT, берём веществе
22    нную част

```



```

22 # Обрезаем изображение до исходных размеров перед возвратом
23 return np.clip(img_filtered[:img_arr.shape[0], :img_arr.shape[1]], 0, 255).
    astype(np.uint8)

```

4 Экспериментальная часть

4.1 Отображение каналов

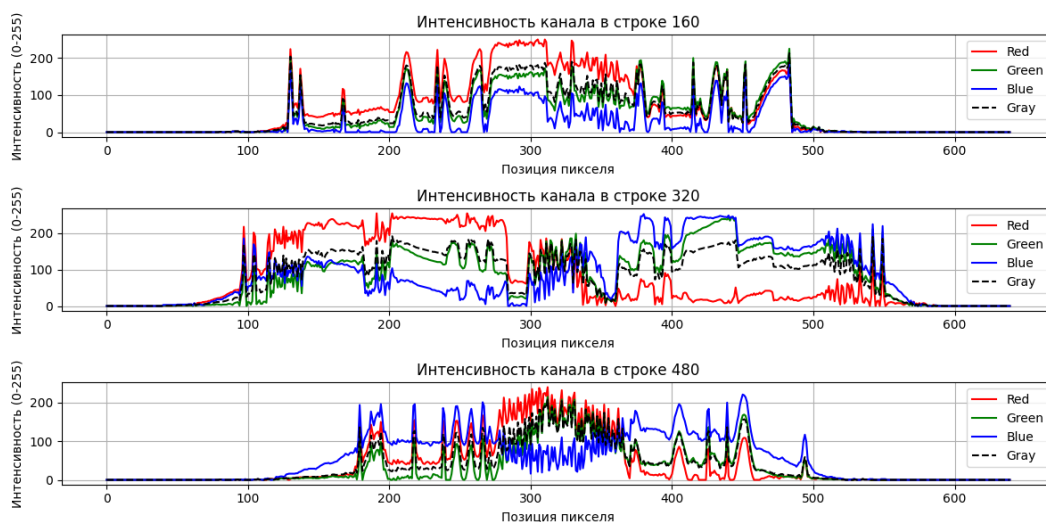


Рис. 1: Красный, зелёный и синий каналы изображения. Каждый канал представлен в градациях серого, где яркость пикселя соответствует интенсивности цвета. Это позволяет проанализировать вклад каждого цвета в общее изображение.

4.2 Свёртка

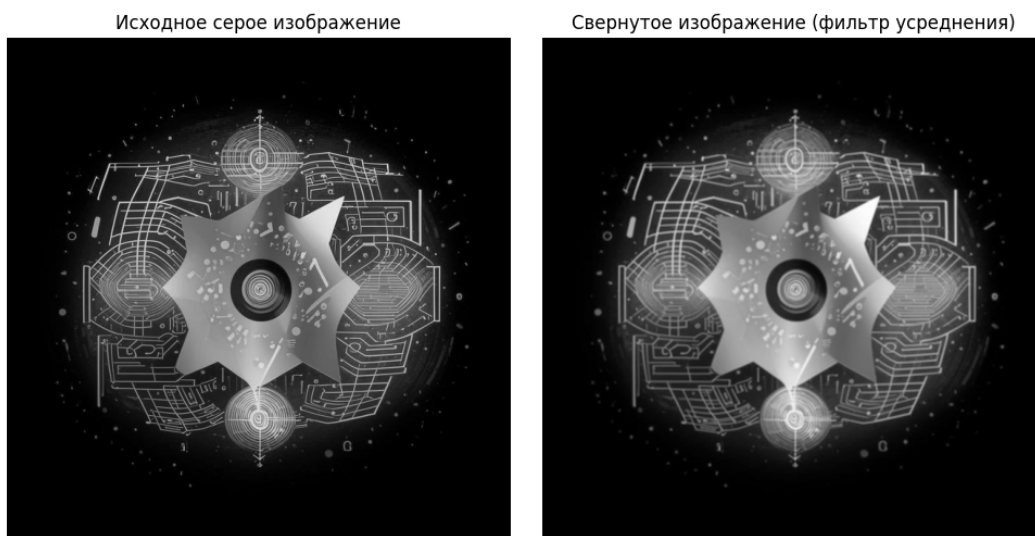


Рис. 2: Слева — исходное серое изображение, справа — результат свёртки с ядром усреднения 3x3. Свёртка сглаживает изображение, уменьшая резкие перепады яркости.

4.3 Пороговая фильтрация

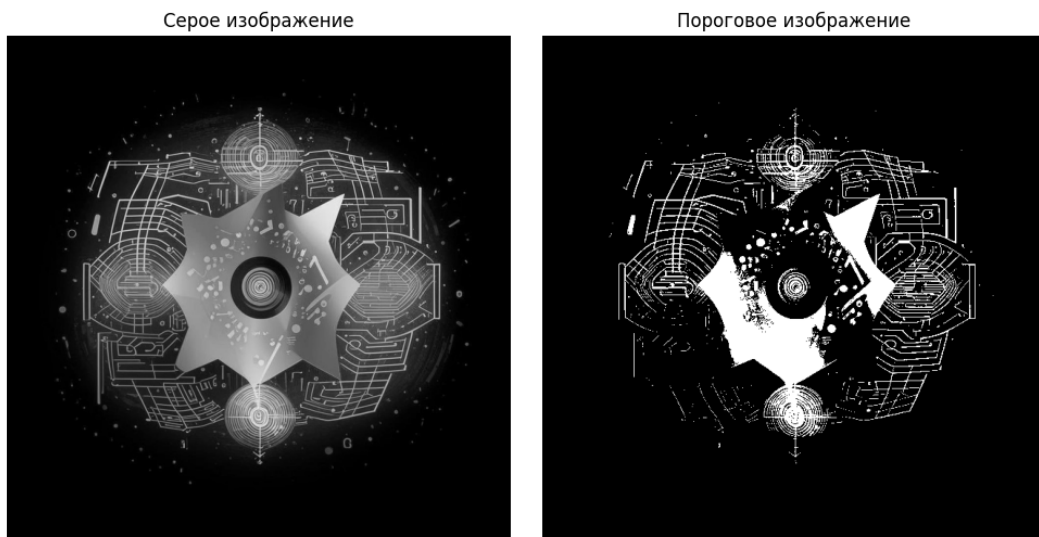


Рис. 3: Слева — серое изображение, справа — бинарное изображение после пороговой фильтрации с порогом 127. Пиксели с интенсивностью выше порога становятся белыми, ниже — чёрными.

4.4 Медианная фильтрация



Рис. 4: Слева — зашумленное изображение с шумом 'соль и перец', в центре — результат медианной фильтрации с ядром 3×3 , справа — с ядром 5×5 . Медианный фильтр эффективно удаляет шум, сохраняя края объектов.

4.5 Гауссовское размытие

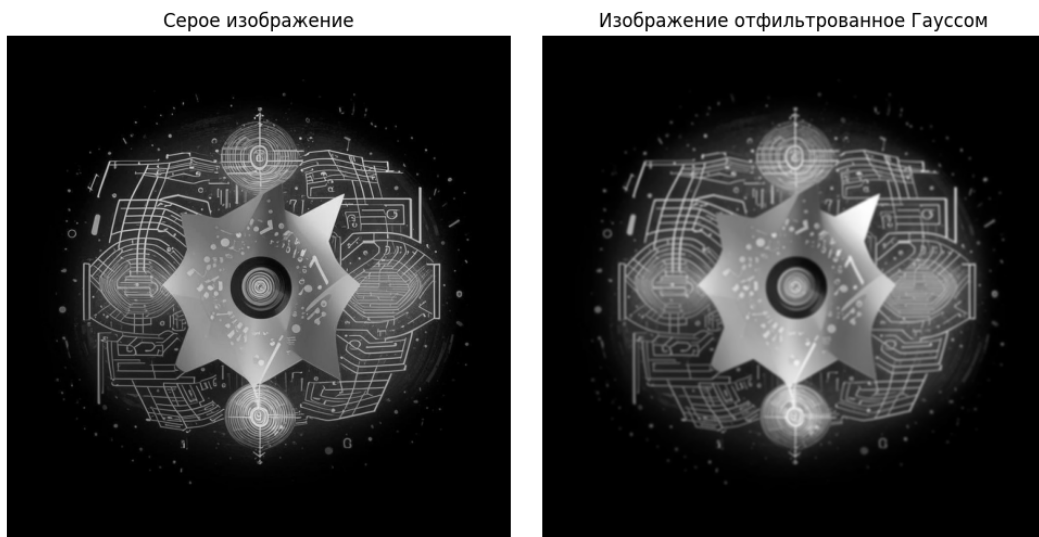


Рис. 5: Слева — серое изображение, справа — изображение после гауссовского размытия с ядром 5×5 и $\sigma=1.5$. Размытие сглаживает изображение, уменьшая высокочастотные детали.

4.6 Боксовое размытие

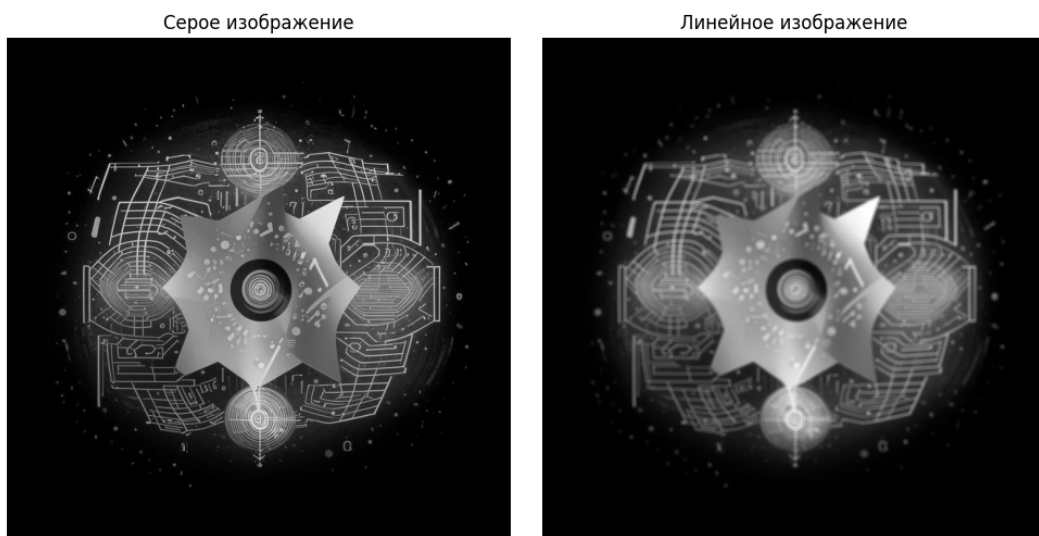


Рис. 6: Слева — серое изображение, справа — изображение после боксового размытия с ядром 5×5 . Боксовое размытие также сглаживает изображение, но менее плавно, чем гауссовское.

4.7 Фильтр Собеля

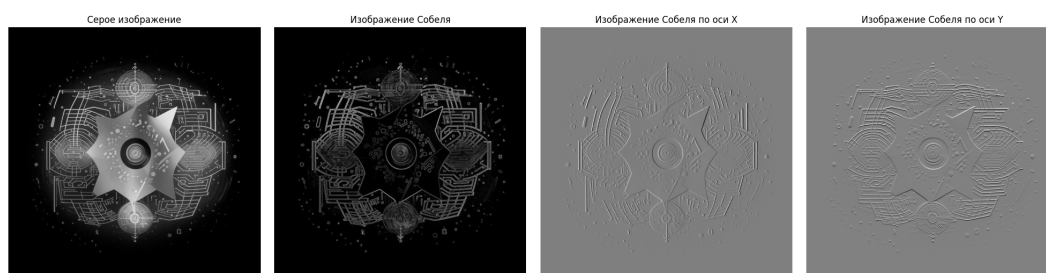


Рис. 7: Слева — серое изображение, справа — изображение с выделенными краями после применения фильтра Собеля. Фильтр выявляет контуры объектов, подчёркивая перепады яркости.

4.8 Изменение размера с помощью DCT



Рис. 8: Слева — оригинальное изображение, в центре — уменьшенное изображение (200x200), справа — увеличенное изображение (1000x1000) с использованием DCT. DCT позволяет масштабировать изображение с сохранением качества.

4.9 Преобразование Фурье

Фурье-спектр

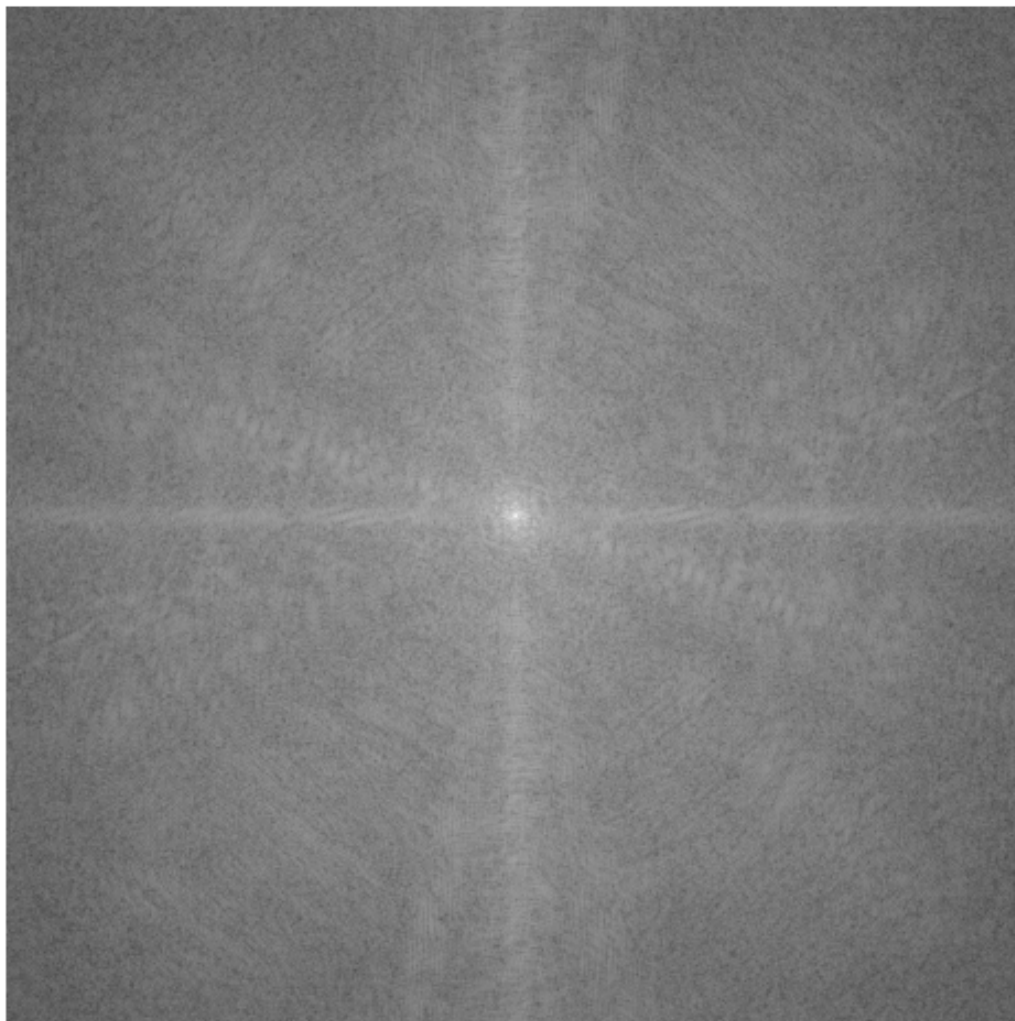


Рис. 9: Фурье-спектр изображения показывает его частотный состав, то есть какие типы и интенсивности частотных компонент (например, линий, краев) присутствуют в изображении.

4.10 Преобразование Фурье

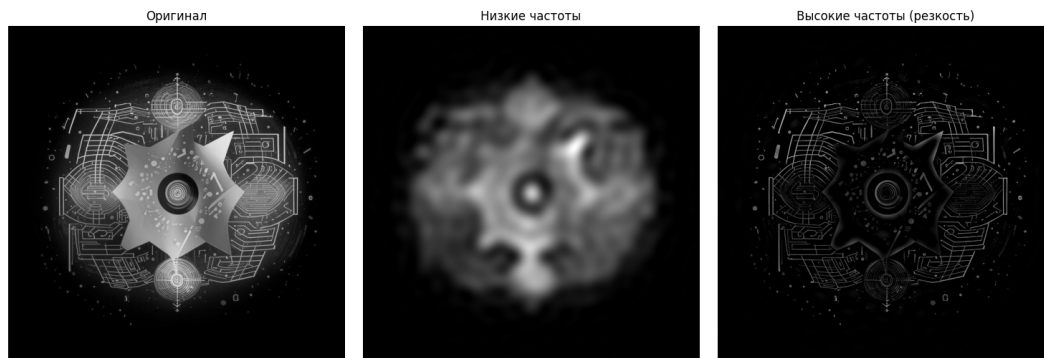


Рис. 10: Слева - оригинал изображения, в центре - после низкочастотной фильтрации, справа — после высокочастотной фильтрации. Низкочастотная фильтрация сглаживает изображение, а высокочастотная выделяет мелкие детали.

5 Анализ результатов

В ходе работы были реализованы и исследованы различные методы обработки изображений. Разделение на каналы позволило увидеть вклад каждого цвета в изображение. Свёртка с различными ядрами показала, как можно размывать изображение или выделять края. Фильтрация (пороговая и медианная) продемонстрировала способы улучшения качества изображения. Преобразование Фурье и фильтрация в частотной области показали возможности анализа и модификации частотных характеристик изображения.

6 Заключение

В данной лабораторной работе были изучены и реализованы методы обработки изображений, включая работу с каналами, свёртку, фильтрацию и преобразование Фурье. Полученные результаты демонстрируют эффективность этих методов для различных задач обработки изображений.

7 Приложение

[Ссылка на код](#)